

بررسی تغییرات کیفی هلوی رقم آلبتا در طول انبار با بسته‌بندی اتمسفر تعدلیل یافته (MAP)

شهرام بهروزی^۱، یونس مستوفی^{۲*}، ذیح الله زمانی^۳، احمد احمدی^۴، اسحاق رنجبر^۵ و جمانه ادیب نیشابوری^۶
^۱، ^۵، ^۶. دانشجویان سابق کارشناسی ارشد پرديس کشاورزی و منابع طبیعی دانشگاه تهران
^۲، ^۳. استاد پرديس کشاورزی و منابع طبیعی دانشگاه تهران
^۴. مریم پرديس کشاورزی و منابع طبیعی دانشگاه تهران
(تاریخ دریافت: ۸۹/۹/۱ - تاریخ تصویب: ۹۰/۲/۲۸)

چکیده

در این پژوهش تأثیر بسته‌بندی با اتمسفر تعدلیل یافته با سه ترکیب گازی مختلف و دو نوع پوشش پلاستیکی (پلی‌اتیلن با دانسیتی پایین و پلی‌پروپیلن) در طول ۹ هفته نگهداری در انبار بر ویژگی‌های کیفی و عمر ماندگاری هلوی رقم آلبتا در یک آزمایش فاکتوریل در قالب طرح کاملاً تصادفی مطالعه شد. میوه‌ها بعد از تیمار در سردخانه در دمای یک درجه سانتی‌گراد با رطوبت نسبی ۹۰ درصد نگهداری شدند و میوه‌های بسته‌بندی با ترکیب هوا، بهمنزله شاهد در نظر گرفته شدند. میوه‌های تیمار شده هر هفته از انبار خارج و پس از ۲۴ ساعت نگهداری در دمای اتفاق از نظر فاکتورهای مختلف کیفی مثل رنگ ظاهری، کاهش وزن، سفتی بافت میوه، مواد جامد محلول، اسید قابل تیتراسیون، pH، تولید اتیلن و شاخص TSS/TA میوه اندازه‌گیری شدند. نتایج نشان داد که میوه‌ها در شرایط اتمسفر تعدلیل یافته ویژگی‌های کیفی را بهتر حفظ کردند. پوشش پلی‌اتیلن فاکتورهای سفتی میوه، TSS، TA، pH و شاخص TSS/TA میوه را بهتر از پلی‌پروپیلن حفظ کرد. تولید اتیلن در پوشش پلی‌پروپیلن کمتر از پلی‌اتیلن بود. ترکیب گازی با حفظ سفتی، TA، کاهش وزن، شاخص TSS/TA و کاهش تولید اتیلن بهتر از ترکیب گازی ($2\% \text{O}_2 + 5\% \text{CO}_2$) بود. در مجموع تیمار پوشش پلی‌اتیلن با ترکیب گازی ($2\% \text{O}_2 + 10\% \text{CO}_2$) سبب حفظ کیفیت و افزایش عمر انبارمانی هلو رقم آلبتا به مدت ۶۳ روز شد.

واژه‌های کلیدی: پلی‌اتیلن با دانسیتی پایین، پلی‌پروپیلن، تولید اتیلن، عمر انبارمانی، کیفیت.

تخریب آن افزایش می‌یابد که سبب کاهش مدت ماندگاری میوه می‌شود (Zhou *et al.*, 2002). از آنجا که بیشتر محصولات باغبانی پس از برداشت زنده‌اند و فعالیت بیولوژیکی دارند، از مرحله برداشت تا رسیدن به دست مصرف‌کننده در معرض فساد قرار می‌گیرند (Silva *et al.*, 1999). در میوه هلو، به علت فساد پذیری بالا در دوره پس از برداشت، برای کاهش ضایعات و طولانی‌کردن عمر انبارمانی محصول، جلوگیری از افزایش میزان تنفس و افت کیفیت میوه و خرابشدن در طول انبار ضروری است. استفاده از بسته‌بندی در اتمسفر تعدلیل یافته به عنوان یکی از روش‌ها برای حفظ

مقدمه

هلو با نام علمی *Prunus Persica* L. بومی مناطق گرم چین است (Layne & Bassi, 2008). براساس آمار فائو^۱ سالانه ۱۸ میلیون تن هلو و شلیل در سرتاسر جهان تولید می‌شود و ایران از نظر سطح تولید در جهان در مقام هشتم قرار دارد (FAO, 2008). هلو میوه بسیار لطیف و ظریف است و فقط می‌توان آن را برای مدت کوتاهی نگهداری کرد و مدت نگهداری آن در سردخانه حدود ۲ هفته و در ۲۰ درجه‌سانی گراد به مدت ۷ روز است. هلو جزء میوه‌های فرازگرا بوده و در زمان انبارداری سرعت تنفس آن بالا می‌رود و بنابراین، سرعت

۱۵ درصد اکسیژن در MAP غیرفعال شرایط خوبی را برای حفظ کیفیت و افزایش عمر قفسه‌ای میوه هلو فراهم می‌کند (Deily & Rizvi, 1982). گزارش‌ها نشان داده‌اند با اعمال غلظت اکسیژن کم (۱- ۵ درصد) و افزایش غلظت دی‌اکسیدکربن، در MAP گسترش نرم‌شدگی و تغییر رنگ در هلو به تأخیر انداخته شد و همچنین میزان تنفس و اتیلن کاهش یافت (Smilanick & Fouse, 1989). براساس گزارش‌ها میوه‌های با فسادپذیری بالا، برای جلوگیری از رسیدن در طول ۱ تا ۲ هفته پس از برداشت و طول دوره توزیع و بازاریابی به تیمارهای دمای پایین، MAP و تیمار گرمایی نیاز دارند 'Yumyeong' (Mc Donald *et al.*, 1999). میوه هلوی (Jeffrey K *et al.*, 1982) در انبار اتمسفر تعديل‌یافته در صفر درجه سانتی‌گراد در طول چهار هفته کمترین میزان آردی‌شدن و بالاترین هدایت الکتریکی را نسبت به هلوهای بدون بسته‌بندی نشان داد (Choi & Koo, 1997). گزارش شده که یک درصد اکسیژن و ۵ درصد دی‌اکسیدکربن در شرایط MAP برای انبار کردن میوه‌های هلو برای مدت طولانی تر مناسب است (Somogyi, 1996). گزارش شده در اتمسفر تعديل‌یافته با پوشش پلی‌اتیلن با دانسیتۀ پایین، اعمال ترکیب گازی ۳ درصد دی‌اکسیدکربن و ۶ درصد اکسیژن مانع اوج فرازگرایی، توسعه نرم‌شدگی، کاهش مواد جامد قابل حل، اسید کل در مقایسه با حالت شاهد شد (Jianshen *et al.*, 2007). با بررسی تغییرات فیزیکی و شیمیایی هلو و شلیل در MAP مشاهده شد که بسته‌بندی هلوهای 'Flavorcest' و 'Red Top' در کیسه‌های پلی‌پروپیلن بهترین نتیجه را داشت (Akbudak & Eris, 2004). در پژوهش حاضر تأثیر بسته‌بندی در اتمسفر تعديل‌یافته فعال با سه نوع ترکیب گازی ($O_2 + CO_2$) ۱۰٪ و ۲۰٪ و ۵٪ و Air در عنوان شاهد و دو نوع پوشش پلاستیکی (پلی‌اتیلن با دانسیتۀ کم و پلی‌پروپیلن) در طول ۹ هفته بر خصوصیات کیفی و عمر انبارمانی هلوی رقم آبرتا مطالعه شد.

مواد و روش‌ها

میوه‌های هلوی رقم آبرتا در مرحله بلوغ در هفته چهارم مردادماه ۱۳۸۸ از باگ تجاری در قزوین برداشت و

کیفیت و کاهش ضایعات انباری این میوه مورد توجه قرار گرفته است (Zoffoli *et al.*, 1997). بسته‌بندی در اتمسفر تعديل‌یافته^۱ (MAP) به عنوان بسته‌بندی محصولات فسادپذیر در اتمسفری که ترکیب آن نسبت به هوای معمولی تعديل‌یافته است تعریف می‌شود (Hintlian & Hotchkiss, 1987). عموماً اتمسفر بسته با کاهش اکسیژن و افزایش دی‌اکسیدکربن به منظور دخالت در متابولیسم میوه‌های بسته‌بندی شده، کاهش فعالیت ارگانیسم‌های عامل پوسیدگی به منظور افزایش عمر انبارداری و عمر قفسه‌ای انجام می‌شود (Mir & Beaudry, 2001). افزایش غلظت دی‌اکسیدکربن و کاهش اکسیژن، شدت تنفسی و فعالیت‌های متابولیکی میوه را به حداقل رسانده و درنتیجه با کاهش فعالیت آنزیم‌های تجزیه کننده پکتین، موجب حفظ سفتی، و با کاهش تولید اتیلن و حساسیت به آن ضمن کندکردن نرم‌شدگی، رسیدگی را به تأخیر انداخته و سبب حفظ رنگ می‌شود (Martinez-Romero *et al.*, 2003). پوشش‌های پلاستیکی استفاده شده برای بسته‌بندی نفوذپذیری باید نفوذپذیری کمی نسبت به رطوبت و نفوذپذیری زیادی به گازها داشته باشند. پوشش‌هایی که نسبت نفوذپذیری آن‌ها برای دی‌اکسیدکربن به اکسیژن در حدود ۳ به ۱ باشد مناسب است (Somogyi, 1996). انواع زیادی از پوشش‌های پلاستیکی برای بسته‌بندی در اتمسفر تعديل‌یافته وجود دارند با لین حال تعداد کمی از آن‌ها برای بسته‌بندی محصولات تازه باگی مناسب‌اند. پلی‌اتیلن با چگالی کم (LDPE)، پلی‌وینیل‌کلراید (PVC)^۲ و پلی‌پروپیلن (PP)^۳ مهم‌ترین پوشش‌های استفاده شده در بسته‌بندی میوه‌ها و سبزی‌ها هستند (Coles *et al.*, 2003; Kader & Watkins, 2000). براساس گزارش‌ها بسته‌های پلی‌اتیلن نفوذپذیر استفاده شده در MAP برای انبارداری هلو در دمای ۲ درجه سانتی‌گراد و رطوبت نسبی ۸۵ تا ۹۵ درصد برای مدت ۳۰ روز نتایج خوبی را نشان داده‌اند (El-Shiekh & Habiba, 1996). گزارش شده که یک اتمسفر درونی در بسته‌ها با ۱۵- ۲۵ درصد دی‌اکسیدکربن و ۱۰-

1. Modified Atmosphere Packaging
2. Low Density Polyethylene
3. Poly Vinyl Chloride (PVC)
4. Polypropylene

^a محاسبه شد (Arnal & Del Rio, 2004).

سفتی میوه: از هر تکرار دو عدد میوه انتخاب شد و پوست میوه در قسمت استوایی از دو ناحیه جدا شد. سپس سفتی میوه بهوسیله نفوذسنگ دارای پیستون با قطر ۸ میلی‌متر اندازه‌گیری شد. عدد بهدهست‌آمده بر حسب کیلوگرم بر سانتی‌متر مربع یادداشت شد (Akbudak & Eris, 2004).

pH: ابتدا pH متر دیجیتال با محلول‌های بافر ۴، ۷ و ۹ کالیبره شد. سپس pH عصاره میوه با استفاده از pH متر اندازه‌گیری شد (Akbudak & Eris, 2004).

اسید قابل تیتراسیون: ابتدا مقدار ۵ میلی‌لیتر از عصاره میوه صافشده با آب مقطر به حجم ۵۰ میلی‌لیتر رسانده شد و تیتراسیون عصاره با استفاده از سود ۰/۱ نرمال تا میزان pH=۸/۱-۸/۲ انجام و نتایج آن بهصورت درصد اسیدمالیک (اسید غالب در هلو) گزارش شد (Akbudak & Eris, 2004).

مواد جامد محلول: با دستگاه رفراکتومتر دستی مدل (REF 108) در دمای اتاق اندازه‌گیری شد و بهصورت درجه برقیکس بیان شد (Jianshen *et al.*, 2007).

اندازه‌گیری تولید اتیلن: سه میوه از هر تیمار بهطور تصادفی انتخاب و پس از اندازه‌گیری وزن و حجم، میوه‌ها در داخل ظرف‌های پلاستیکی مخصوص و مجهز به سپتوم قرار گرفته شدند و سپس دهانه ظرف‌ها بسته شد. بعد از گذشت ۶ ساعت، یک نمونه از گاز بالای ظرف پلاستیکی توسط سوزن‌های ویژه به داخل لوله‌های شیشه‌ای خلاء‌دار کشیده شد. مقدار یک میکرومیتر از گاز داخل نوچگشت، به دستگاه کروماتوگراف گازی^۱ مدل شیمادزو^۲ تزریق شد. از گاز نیتروژن بهعنوان گاز حامل استفاده شد. دمای بخش تزریق، ستون و دتکتور^۳ به ترتیب ۱۱۰، ۱۰۰ و ۱۲۰ درجه سانتی‌گراد بود. میزان تولید اتیلن بر حسب نانولیتر بر کیلوگرم در ثانیه محاسبه شد (Jeffrey *et al.*, 1982).

شاخص TSS/TA: شاخص TSS/TA، نسبت مواد جامد محلول کل به اسید قابل تیتراسیون است. برای محاسبه آن از نسبت TSS/TA استفاده کرده و شاخص طعم

بلافاصله به سردخانه گروه علوم باگبانی واقع در پردیس کشاورزی و منابع طبیعی دانشگاه تهران منتقل شد. میوه‌ها به مدت ۱۲ ساعت در سردخانه با دمای یک درجه سانتی‌گراد نگهداری شدند تا دمای محصول کاهش یابد و ضمن جadasازی میوه‌های معیوب، بهمنظور فراهم‌سازی ماده آزمایشی کاملاً یکنواخت، ۶ عدد از میوه‌های یکدست و سالم درون هر یک از بسته‌های پلاستیکی پلی‌اتیلن با دانسیتۀ پایین و پلی‌پروپیلن قرار داده شد. سپس میوه‌های داخل کیسه‌های پلاستیکی وزن شدن. درنهایت بسته‌های پلاستیکی بهمنظور بسته‌بندی با دستگاه خلاء بسته‌بندی مدل هنکلمن Boxer 42 به درون دستگاه انتقال یافتند. داخل بسته‌ها براساس نوع پوشش و ترکیب گازی مورد نظر با دو ترکیب گازی ($\text{N}_2 + \text{CO}_2$ ٪ ۸۸ / ۱۰٪ O_2) و ($\text{N}_2 + \text{CO}_2$ ٪ ۹۳ / ۷٪ O_2) توسط دستگاه پر و بهصورت اتوماتیک درزبندی شد. کیسه‌های حاوی ترکیب هوای معمولی (Air) توسط دستگاه دوخت پلاس درزبندی شدند و بهعنوان شاهد برای مقایسه با دو ترکیب گازی در نظر گرفته شد. بسته‌ها سپس به سردخانه با دمای یک درجه سانتی‌گراد و رطوبت نسبی ۹۰ درصد انتقال یافتند. برای ارزیابی فاکتورهای کیفی، نمونه‌برداری هر ۷ روز یکبار در طول مدت ۶۳ روز انبارداری (۹ هفته) انجام شد.

این پژوهش بهصورت آزمایش فاکتوریل در قالب طرح کاملاً تصادفی در ۳ تکرار اجرا شد و در آن تیمارها شامل ترکیب گازی در ۳ سطح (شاهد هوای معمولی) و پوشش پلاستیکی در ۲ سطح و زمان در ۹ سطح مقایسه شد.

کاهش وزن: وزن هر نمونه در ابتدای آزمایش و قبل از بسته‌بندی و بلافاصله پس از خروج از سردخانه اندازه‌گیری شد و براساس درصد کاهش وزن نسبت به وزن اولیه نمونه بیان شد (Akbudak & Eris, 2004).

رنگ ظاهری: تغییر رنگ در طول مدت زمان نگهداری براساس مؤلفه‌های a^* , b^* , L^* (درجه شفافیت رنگ) با استفاده از دستگاه رنگ‌سنگ Konica Minolta CR-400, Japan بهطور تصادفی انتخاب و از سه نقطه مختلف اندازه‌گیری پارامترها انجام شد. شاخص رنگی بهصورت a^*/L^* ۱۰۰۰

1. Gas chromatograph

2. Shimadzu

3. Detector

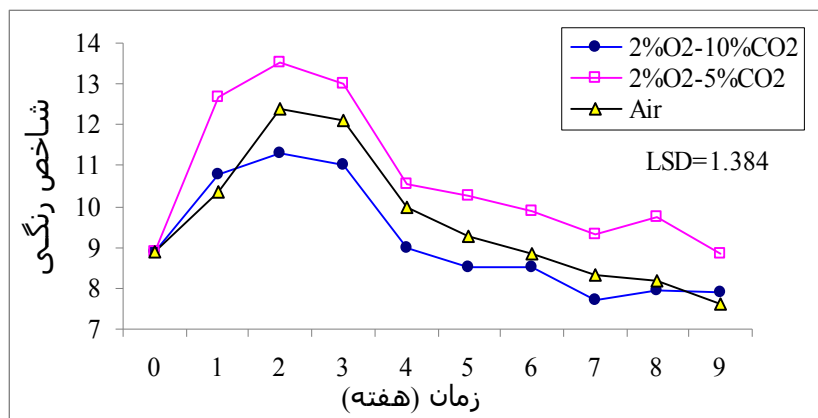
میوه به دست می‌آید (Fernandez-Trujillo & Artes, 1997). تجزیه واریانس داده‌ها به صورت فاکتور سه‌عامله پوشش، ترکیب گازی و زمان با استفاده از نرم‌افزارهای SAS و MSTATC مقایسه میانگین‌ها با استفاده از روش چنددامنه‌ای دانکن در سطح $P \leq 0.05$ انجام گرفت.

بررسی ارتباط بین مؤلفه‌ها، نتیجه‌گیری می‌شود که با افزایش درخشندگی و کاهش نسبت عدد رنگ قرمز (a^+) به رنگ زرد (b^+) شاخص رنگی کاهش می‌یابد و بر عکس و درنتیجه کاهش شاخص رنگی نشان‌دهنده توسعه رنگ زرد نسبت به رنگ قرمز همراه با روش‌ترشدن و درخشندگی بیشتر میوه‌هاست. گزارش شده است که میوه‌ها به دلیل فرایند رسیدن در انبار تیره‌تر می‌شوند و میزان CO_2 بسیار بالا روی رنگ میوه اثر می‌گذارد و افزایش CO_2 سبب به تعویق افتادن توسعه رنگ می‌شود (Gil *et al.*, 1997). در طول زمان در صورت توسعه قهومه‌ای شدن درونی، پوست میوه رنگ قهومه‌ای تیره به خود می‌گیرد از درخشندگی و روشی میوه کاسته می‌شود و بنابراین شاخص رنگی افزایش می‌یابد. همچنین گزارش شده است در هلو بر اثر تیمار با آب گرم و بسته‌بندی در اتمسفر تعديل‌یافته شاخص درخشندگی میوه در طول انبار افزایش یافت (Fernandez-Trujilio & Salmeron, 1997).

شاخص رنگی: نتایج جدول تجزیه واریانس (جدول ۱) نشان می‌دهد اثر زمان و ترکیب‌های گازی (در سطح یک‌درصد) و اثر متقابل بین آن‌ها (در سطح ۵‌درصد) تأثیر معناداری بر شاخص رنگی داشتند. شاخص رنگی از هفته چهارم کاهش یافت و چند هفته آخر ثابت ماند. بین پوشش اختلاف معنادار وجود نداشت و در کل پلی‌پروپیلن شاخص رنگی را بهتر حفظ کرد. در هر دو پوشش، ترکیب گازی ($0.2\% \text{O}_2 + 10\% \text{CO}_2$) تغییرات و میزان شاخص رنگی پایین‌تری را در طول زمان نشان داد (شکل ۱). براساس فرمول محاسبه شاخص رنگی

نتایج و بحث

زاویه: نتایج جدول تجزیه واریانس (جدول ۱) نشان می‌دهد اثر زمان و ترکیب‌های گازی (در سطح یک‌درصد) و اثر متقابل بین آن‌ها (در سطح ۵‌درصد) تأثیر معناداری بر شاخص رنگی داشتند. شاخص رنگی از هفته چهارم کاهش یافت و چند هفته آخر ثابت ماند. بین پوشش اختلاف معنادار وجود نداشت و در کل پلی‌پروپیلن شاخص رنگی را بهتر حفظ کرد. در هر دو پوشش، ترکیب گازی ($0.2\% \text{O}_2 + 10\% \text{CO}_2$) تغییرات و میزان شاخص رنگی پایین‌تری را در طول زمان نشان داد (شکل ۱). براساس فرمول محاسبه شاخص رنگی



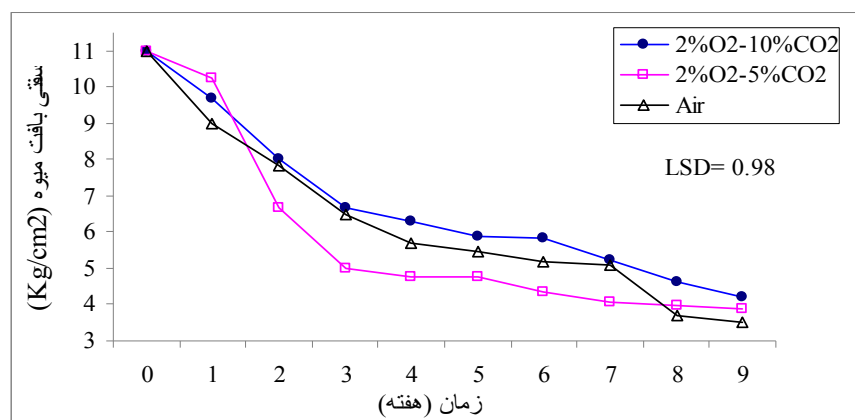
شکل ۱. اثر متقابل زمان با ترکیب گازی بر شاخص رنگی میوه هلو رقم آلبرتا طی زمان انبارداری

سلولی و تبدیل شدن پروتوبیکتین نامحلول به اسید گالاکتورونیک محلول سبب نرمی بافت میوه می‌شود (Thompson, 2010). در پوشش پلی‌اتیلن میوه‌ها نسبت به پلی‌پروپیلن سفت‌تر باقی ماندند و ترکیب گازی ($0.2\% \text{O}_2 + 10\% \text{CO}_2$) هم بالاترین مقدار سفتی را در پوشش پلی‌اتیلن نشان داد (شکل ۳). در پژوهشی میوه‌های هلوی ذخیره‌شده در MAP در طول ۲۱ روز انبار تغییرات کاهش سفتی زیاد نبود ولی بعد از آن

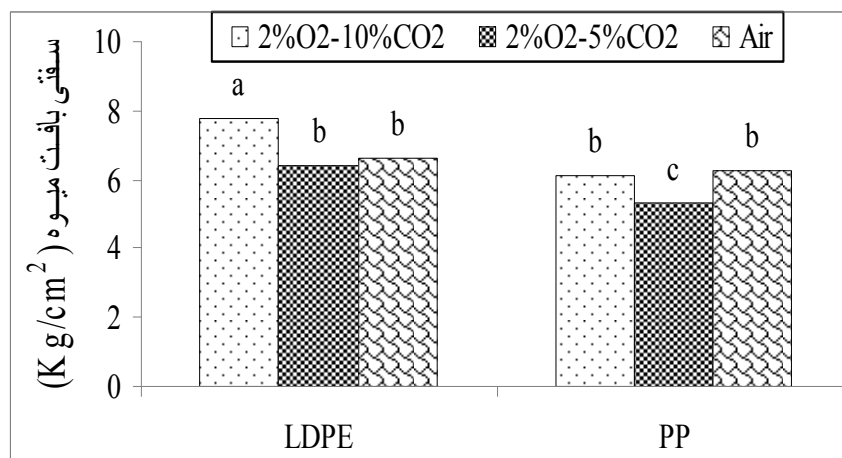
سفتی میوه: نتایج جدول تجزیه واریانس نشان می‌دهد که اثر زمان، ترکیب گازی و پوشش و اثر متقابل زمان و پوشش با ترکیب گازی (در سطح یک‌درصد) بر سفتی میوه معنادار است. با توجه به نتایج حاصله، سفتی میوه در طول زمان کاهش یافت و میوه‌ها نرم‌تر شدند و تغییرات کاهش سفتی در ترکیب هوا بیشتر و در ترکیب گازی ($0.2\% \text{O}_2 + 10\% \text{CO}_2$) کمتر بود (شکل ۲). با گذشت زمان تغییر هیدروکربن‌های پلیمری در دیواره

فعالیت آنزیم‌های پکتین متیل استراز و نرم شدن میوه شد. دی‌اکسیدکربن با کاهش میزان تنفس و کاهش تولید اتیلن بر فعالیت آنزیم‌های عامل نرم شدگی بافت میوه مانند پکتیناز تأثیر می‌گذارد و کاهش فعالیت آنزیم سبب کندشدگی سفتی میوه می‌شود (Santana *et al.*, 2009).

بیشترین نرم شدگی در پوشش پلی‌پروپیلن با منافذ Fernandez-Trujillo & Artes, (1998) درشت مشاهده شد (در پژوهشی دی‌اکسیدکربن بالا سبب افزایش سفتی میوه توت‌فرنگی شد (Harker *et al.*, 2000). گزارش شده که پوشش پلی‌اتیلن با ترکیب گازی $(10\% \text{CO}_2 + 5\% \text{O}_2)$ سبب حفظ سفتی میوه هلو و مانع پوسیدگی پس از برداشت شد و همچنین مانع



شکل ۲. اثر متقابل زمان با ترکیب گازی بر تغییرات سفتی میوه هلو رقم آلبتا طی زمان انبارداری



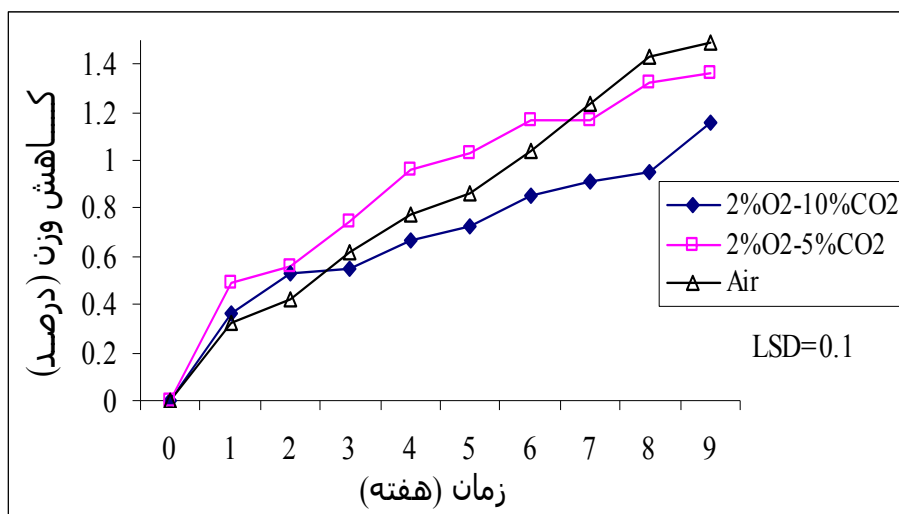
شکل ۳. اثر متقابل پوشش با ترکیب گازی بر تغییرات سفتی میوه هلو رقم آلبتا

اختلاف معناداری وجود داشت، به طوری که در پوشش پلی‌اتیلن کاهش وزن میوه‌ها بیشتر از پوشش پلی‌پروپیلن بود و همچنین بین دو ترکیب گازی در مقایسه با ترکیب هوا اختلاف معناداری وجود داشت و در میوه‌های هر دو پوشش با ترکیب گازی ($10\% \text{O}_2 + 10\% \text{CO}_2$) کاهش وزن نسبت به دو ترکیب دیگر کمتر بود (جدول ۳). احتمالاً با افزایش دی‌اکسیدکربن میزان

کاهش وزن: نتایج تجزیه واریانس (جدول ۱) نشان می‌دهد اثر زمان، ترکیب‌های گازی و پوشش‌ها و اثر متقابل بین آنها (در سطح یک‌درصد) تأثیر معناداری را بر کاهش وزن داشتند. با گذشت زمان، کاهش وزن در نمونه‌های تیمارشده مشاهده شد. به طوری که تغییرات کاهش وزن در ترکیب هوا بیشتر از دو ترکیب گازی دیگر بود (شکل ۴). بین پوشش‌ها از نظر کاهش وزن

تجمع بخار آب داخل پوشش‌ها شده و درنتیجه منجر به کاهش ازدستدهی وزن میوه می‌شود (Karabulut & Baykal, 2004). کاهش بیشتر وزن میوه‌ها در پوشش پلی‌اتیلن به‌علت نفوذ پذیری بیشتر به گازهای اکسیژن، دی‌اکسید کربن و بخار آب و به دنبال آن افزایش تنفس میوه نسبت به پوشش پلی‌پروپیلن است (Farber *et al.*, 2003).

تنفس کاهش می‌یابد و بنابراین با میزان کاهش سوخت‌وساز، مواد کربوهیدرات کمتری تجزیه شده و کاهش وزن کمتری مشاهده می‌شود. در پژوهشی گزارش شده کاهش وزن میوه هلو در شرایط انبار اتمسفر تعديل‌یافته که با کاهش اکسیژن و افزایش دی‌اکسید کربن همراه بوده، کمتر از شاهد (هوای بود). همچنین در MAP وجود پوشش در اطراف میوه سبب



شکل ۴. اثر متقابل زمان و ترکیب گازی بر کاهش وزن هلو رقم آبرتا در طول زمان

جدول ۱. تجزیه واریانس صفات شاخص رنگی، سفتی و کاهش وزن هلوی رقم آبرتا در شرایط انبارداری

متغیر	درجه آزادی	منابع تغییرات	میانگین مربعات
کاهش وزن		شاخص رنگی	
۲/۸۹**	۱۲۶/۷۹**	۱۷۶/۰۷**	۹
۰/۸۴**	۵۱/۲۴**	۰/۰۸ n.s	۱
۰/۶۲**	۱۳/۶۵**	۱۱/۷۱**	۲
۰/۰۶**	۱/۱۶*	۳/۹۶ n.s	۹
۰/۱۴**	۵/۸۷**	۷/۶۴ n.s	۲
۰/۱**	۱/۸**	۵/۱۳*	۱۸
۰/۰۷**	۱/۵۶**	۴/۳ n.s	۱۸
۰/۱	۰/۵۴	۲/۸۶	۱۰۰
۷/۵	۱۱/۴۸	۱۸/۰۹	C.V.

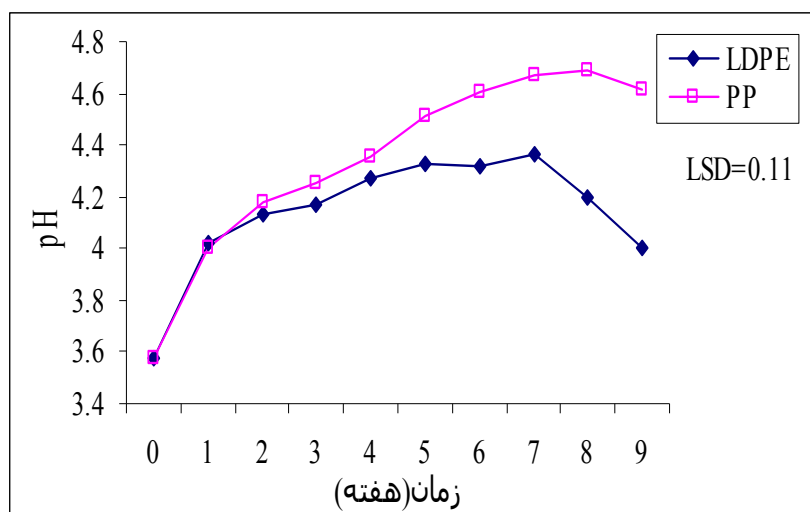
**، * به ترتیب معنادار در سطح یک‌درصد، ۵‌درصد، غیرمعنادار

هفته‌های آخر به میزان ثابتی رسید و همچنین تغییرات pH در پوشش پلی‌اتیلن از هفته چهارم به بعد کمتر از پوشش پلی‌پروپیلن بود. درواقع پوشش پلی‌اتیلن نسبت به پلی‌پروپیلن pH میوه هلوی رقم آبرتا را بهتر

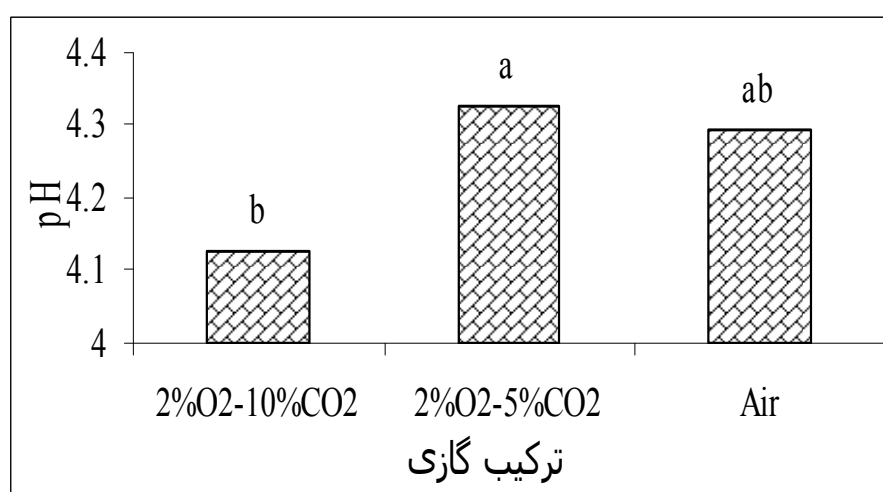
pH : نتایج تجزیه واریانس (جدول ۲) نشان می‌دهد که اثر زمان، ترکیب گازی و پوشش و اثر متقابل بین زمان × پوشش (در سطح یک‌درصد) بر pH عصارة میوه معنادار شد. pH در طول زمان افزایش یافت و در

بسته‌های حاوی دی‌اکسیدکربن بالا، تخریب اسیدهای آلی و تنفس میوه‌ها کاهش می‌باید و همچنین بر اثر حل شدن دی‌اکسیدکربن در بسته‌های حاوی دی‌اکسیدکربن افزایش یافته، اسیدکربونیک (HCO_3^-) و H^+ تولید می‌شود درنتیجه حضور H^+ به‌طور آشکار سبب کاهش pH می‌شود (Kader & Ben-Yehoshua, 2000) و گزارش شده که در MAP دارای پوشش پلاستیکی با نفوذپذیری پایین به گازهای اتمسفری، به‌علت افزایش دی‌اکسیدکربن و کاهش میزان تنفس pH میوه‌ها کمتر بود (Devlieghere & Jacxsens, 2000).

حفظ کرد (شکل ۵). این مسئله ممکن است به‌علت مصرف اسیدهای آلی در اثر تنفس باشد. نتایج این پژوهش با نتایج Rodriguez *et al.*, 1999 در بررسی تغییرات ترکیبات شیمیایی هلو در طول انبار مطابقت داشت. شکل ۶ نشان می‌دهد که ترکیب گازی ($2\% \text{O}_2 + 10\% \text{CO}_2$) میزان pH پایین‌تری را در بسته‌بندی اتمسفر تعديل یافته نشان دادند و بین ترکیب‌ها و ترکیب گازی ($2\% \text{O}_2 + 5\% \text{CO}_2$) اختلاف معناداری مشاهده نشد. قندها و اسیدها که در اثر متابولیسم تنفسی استفاده می‌شوند سبب تغییر در pH, TA, TSS میوه‌ها و سبزی‌ها در طول انبار می‌شوند و به نظر می‌رسد در



شکل ۵. اثر متقابل زمان و پوشش بر pH هلو رقم آلبتا در بسته‌بندی با اتمسفر تعديل یافته



شکل ۶. اثر ترکیب گازی بر pH هلوی رقم آلبتا

جدول ۲. تجزیه واریانس صفات کیفی هلوی رقم آلبرتا در شرایط انبارداری با پوشش‌ها و ترکیب‌های مختلف گازی

منابع تغییرات	درجه آزادی					میانگین مرباعات
	اتیلن	TSS/TA	TSS	TA	pH	
زمان	۶۰۳/۴۳**	۲۰۴/۴۹**	۱۲/۰۲**	۰/۴۶**	۱/۴۴**	۹
پوشش	۲۵۴/۸۹**	۶۷۷/۲۱**	۱۷/۷۱**	۰/۴۱**	۱/۶۱**	۱
ترکیب گازی	۲۲۹۵**	۸۶۸/۱۴**	۷/۹۳**	۰/۷۹**	۰/۶۹**	۲
زمان × پوشش	۳۵/۶۹**	۴۴/۵۴**	۰/۵۴ n.s.	۰/۰۲**	۰/۱۵**	۹
پوشش × ترکیب گازی	۳۱۷/۰۶**	۴۸/۰۵**	۴/۳۱**	۰/۰۳**	۰/۰۶ n.s.	۲
زمان × ترکیب گازی	۶۱/۲۵**	۲۹/۲۶**	۰/۶۸ n.s.	۰/۰۱**	۰/۰۲ n.s.	۱۸
زمان × پوشش × ترکیب گازی	۷۶/۳۲**	۶/۵۹ n.s.	۰/۳۵ n.s.	۰/۰۱**	۰/۰۱ n.s.	۱۸
خطای آزمایش	۸/۷	۵/۶	۰/۰۱	۰/۴۲	۰/۰۰۳	۱۰۰
C.V.	۱۸/۴۵	۱۱/۳۶	۱۵/۴۱	۷/۴۵	۹/۸	

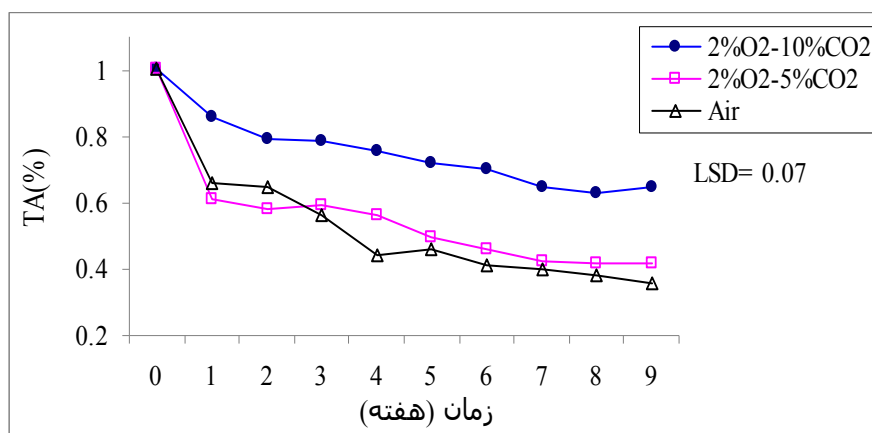
*** و ** به ترتیب معنادار در سطح پک درصد، در سطح ۵ درصد، غیرمعنادار

مواد جامد محلول (TSS): نتایج تجزیه واریانس (جدول ۲) نشان می‌دهد اثر زمان، ترکیب گازی و پوشش و اثر متقابل پوشش و ترکیب گازی (در سطح یک درصد) تأثیر معناداری را بر TSS دارند. در طول زمان TSS کاهش یافت، به طوری که در طول دو هفته اول TSS بیشتر کاهش یافت و از هفتادم به بعد میزان TSS ثابت ماند و اختلاف معناداری از نظر کاهش در طول زمان مشاهده نشد (شکل ۸). جدول ۳ نشان می‌دهد که پوشش پلی‌اتیلن نسبت به پلی‌پروپیلن میزان مواد جامد محلول کمتری را دارد و ترکیب هوا نسبت به دو ترکیب دیگر گازی میزان TSS بیشتری داشت. در پژوهشی بالاترین مقدار TSS در پایان انبارمانی در شاهد (هوا) مشاهده شد، در حالی که پایین‌ترین مقدار TSS در شلیل رقم فانتاسیا در پوشش پلی‌اتیلن مشاهده شد. افزایش کند TSS در طول زمان به علت پایین‌بودن میزان تنفس و به تأخیر افتادن میزان رسیدگی است و کاهش TSS در پوشش پلی‌اتیلن در پایان انبارمانی، به علت افزایش یافتن میزان تنفس میوه است (Akbudak & Eris, 2004). در این پژوهش پوشش پلی‌اتیلن با ترکیب گازی ($0.2\% O_2 + 10\% CO_2$) پایین‌ترین میزان TSS را نشان داد. احتمالاً پوشش پلی‌اتیلن به علت نفوذپذیری بیشتر به گازها، میزان تنفس و تولید اتیلن بالا سبب سوخت‌وساز بیشتر مواد قندی میوه شده و سبب کاهش TSS می‌شود. در ضمن کاهش وزن شاهد را از نظر

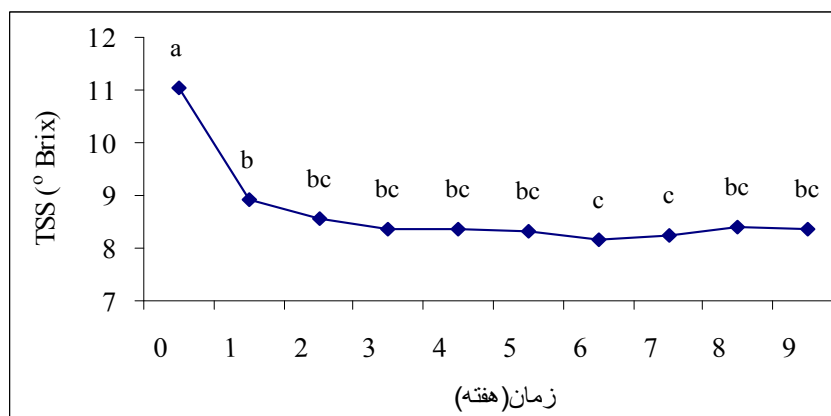
اسید قابل تیتراسیون (TA): نتایج حاصل از تجزیه واریانس (جدول ۲) نشان می‌دهد که اثر ترکیب‌های گازی، زمان نگهداری، پوشش‌ها و اثر متقابل بین آن‌ها (در سطح یک درصد) تأثیر معناداری بر TA دارند. جدول ۳ نشان می‌دهد که در هر دو پوشش ترکیب گازی ($0.2\% O_2 + 10\% CO_2$) بیشترین مقدار TA و ترکیب گازی ($0.5\% O_2 + 2\% CO_2$) و هوا اختلاف معناداری نداشتند و کمترین مقدار TA را نشان دادند. شکل ۷ نشان می‌دهد که در ترکیب گازی ($0.2\% O_2 + 10\% CO_2$) تغییرات TA در طول زمان به صورت کند کاهش یافت و در ترکیب هوا روند تغییرات بیشتر بود. به نظر می‌رسد مقادیر محدود اکسیژن و مقادیر زیاد دی‌اکسیدکربن نقش زیادی را در کاهش شدت تنفس میوه و درنتیجه جلوگیری از مصرف زیاد اسیدهای آلی میوه در جریان تنفس ایفا می‌کند. گزارش شده TA در طول انبار در میوه‌های شاهد هلو سریعاً کاهش یافت، ولی در MAP با پوشش پلی‌اتیلن با دانسیتی کم کاهش TA به کندی انجام شد (Jianshen et al., 2007). احتمال می‌رود پلی‌اتیلن با ترکیب گازی ($0.2\% O_2 + 10\% CO_2$) به علت ایجاد اتمسفر مطلوب برای کاهش شدت تنفس و جلوگیری از مصرف اسیدهای آلی طی فرایند متابولیکی تنفس بیشتر از پلی‌پروپیلن TA را حفظ می‌کند و همچنین تأخیر در رسیدگی میوه‌ها مانع کاهش TA در طول زمان می‌شود.

از آن کاهش یافت و در شاهد تغییرات کاهش TSS نسبت به دیگر تیمارها سریع‌تر بود (Jianshen *et al.*, 2007).

افزایش غلظت مواد (TSS) نباید از نظر دور داشت. در پژوهشی گزارش شده در ۲۰ روز اول بسته‌بندی میوه‌های هلو در TSS، MAP تغییر عمده نداشت و بعد



شکل ۷. اثر متقابل زمان و ترکیب گازی بر TA هلوی رقم آلبرتا طی زمان انبارداری



شکل ۸. تغییرات TSS در هلوی رقم آلبرتا در طول زمان

جدول ۳. مقایسه میانگین اثر متقابل پوشش و ترکیب گازی بر کاهش وزن، TSS، TA و شاخص TSS/TA هلوی رقم آلبرتا طی زمان انبارداری

شاخص	TSS/TA	TSS(°Brix)	TA (%)	کاهش وزن (٪)	تیمار
	۹/۶۴ ^d	۷/۹۲ ^d	۰/۸۲ ^a	۰/۷۹ ^b	LDPE+10% CO ₂ + 2% O ₂
	۱۴/۵۳ ^c	۸/۱۸ ^c	۰/۵۹ ^c	۰/۸۹ ^b	LDPE+5% CO ₂ + 2% O ₂
	۱۷/۹۹ ^b	۹/۱۰ ^a	۰/۵۹ ^c	۰/۸۷ ^a	LDPE + Air
	۱۲/۹۲ ^c	۸/۸۴ ^b	۰/۶۸ ^b	۰/۵۳ ^c	PP+10% CO ₂ + 2% O ₂
	۲۰/۱۶ ^a	۹/۱۳ ^a	۰/۵۱ ^d	۰/۸۱ ^b	PP+ 5% CO ₂ + 2% O ₂
	۱۹/۹۶ ^a	۹/۱۰ ^a	۰/۵۰ ^d	۰/۷۸ ^b	PP + Air

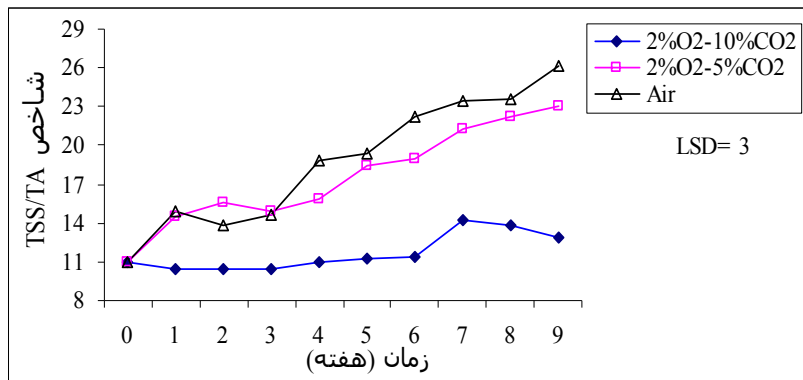
در هر ستون اعدادی که با حروف یکسان مشخص شده‌اند، در سطح ۵ درصد، اختلاف معنادار ندارند

بر شاخص TSS/TA میوه دارند. تغییرات شاخص TSS/TA در طول زمان در ترکیب هوا و (O₂٪ + 5٪ CO₂) سریع‌تر و بیشتر افزایش یافت و تغییرات

شاخص TSS/TA: نتایج تجزیه واریانس (جدول ۲) نشان داد که اثر زمان، ترکیب گازی و پوشش و اثر متقابل بین آن‌ها (در سطح یک درصد) تأثیر معناداری را

تغییر در الگوی تنفسی شده، بدین ترتیب با کندشدن بسیاری از فرایندهای متابولیکی منجر به کاهش شاخص TSS/TA میوه‌ها می‌شود (Layne & Bassi, 2008). براساس پژوهشی شاخص TA در طول انبار در میوه‌های هلو ذخیره شده در MAP افزایش یافت، ولی در مقایسه با شاهد کمتر بود، بنابراین MAP به عنوان حفظ TA در طول زمان انبارمانی و جلوگیری از افزایش TSS مانع افزایش بیش از حد شاخص TA شد (Fernandez-Trujillo & Artes, 1998). پایین‌آمدن کیفی طعم میوه در طول زمان در انبارهایی با اتمسفر تعديل‌یافته (MAP) اصولاً مربوط به کاهش اسید میوه و تأخیر رسیدگی میوه است (Conte *et al.*, 2009).

افزایش در ترکیب گازی ($0.2\% O_2 + 10\% CO_2$) کمتر از دیگر ترکیب گازی مشاهده شد (شکل ۹). در پوشش پلی‌اتیلن شاخص TSS/TA نسبت به پلی‌پروپیلن کم بود. ترکیب گازی ($2\% O_2 + 5\% CO_2$) بیشترین و ($10\% CO_2$) کمترین نسبت TSS/TA را داشت (جدول ۳). در پژوهشی عطر و طعم در هلوهای کنسروی با افزایش میزان دی‌اکسیدکربن انبار از ۵ درصد به بالا کاهش یافت (Claypool & Davis 1959). از بین رفتن طعم میوه در انبارمانی طولانی‌مدت در اتمسفری حاوی مقدار زیاد دی‌اکسیدکربن، گسترش می‌یابد. همچنین دمای پایین و مقادیر محدود اکسیژن و مقادیر زیاد دی‌اکسیدکربن منجر به کاهش شدت تنفس میوه و



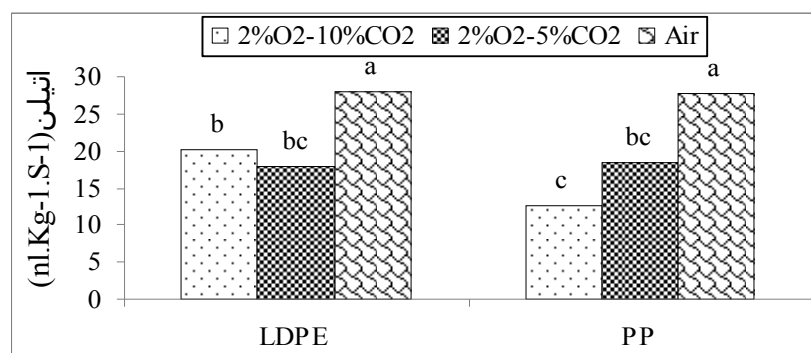
شکل ۹. اثر متقابل زمان و ترکیب گازی بر شاخص طعم هلوی رقم آلبرتا طی زمان انبارداری

پلی‌پروپیلن با ترکیب گازی ($0.2\% O_2 + 10\% CO_2$) کمترین میزان تولید اتیلن را نشان داد (شکل ۹). گزارش شده که افزایش دی‌اکسیدکربن در MAP ضمن جلوگیری از فعالیت اتیلن از تولید اتیلن در برخی محصولات فرازگرا مثل هلو و سیب جلوگیری می‌کند. از سوی دیگر مقادیر دی‌اکسیدکربن بالاتر از ۲۰-۱۵ درصد می‌تواند سبب صدمه به برخی محصولات بشود (Day, 1993). در ترکیب هوا تولید اتیلن نسبت به ترکیبات گازی دیگر در طول زمان بیشتر بود و در هفته دوم یک پیک (نقطه اوج) بدلند تولید شد. در ترکیبات گازی در طول زمان پیک تولید اتیلن در هفته دوم و سوم مشاهده شد ولی نسبت به شاهد پیک کوتاه‌تر بود (شکل ۱۱). چنین به نظر می‌رسد که بسته‌بندی میوه‌ها در اتمسفر تعديل‌یافته همراه با دمای پایین انبارداری، کاهش مقدار اکسیژن و افزایش مقدار دی‌اکسیدکربن

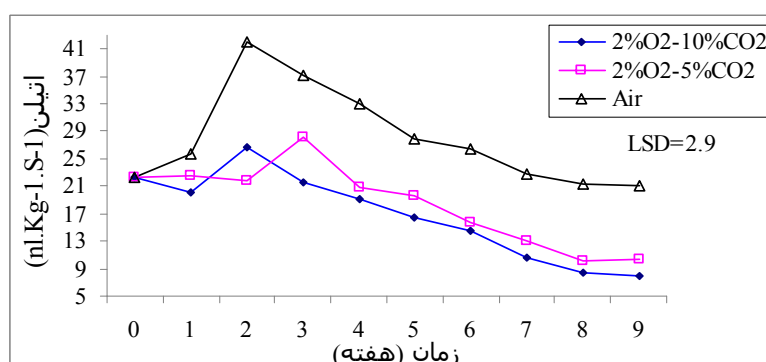
تولید اتیلن: نتایج تجزیه واریانس (جدول ۲) نشان داد اثر زمان، ترکیب گازی و پوشش و اثر متقابل بین آن‌ها (در سطح یک‌درصد) تأثیر معناداری بر تولید اتیلن در میوه هلو داشت. در پوشش‌های پلاستیکی با ترکیب گازی تولید اتیلن پایین بود و کمترین میزان تولید اتیلن در پوشش پلی‌پروپیلن مشاهده شد. گزارش شده در هلوی رقم ردتاپ در شرایط MAP با پوشش پلی‌پروپیلن پایین‌ترین میزان تولید اتیلن و تنفس وجود داشت، ولی در شاهد میزان تنفس در طول زمان بیشتر بود (Akbudak & Eris, 2004). نتایج پژوهش حاضر با نتایج پژوهشگران مذکور مطابقت دارد. در پوشش پلی‌اتیلن با دانسیتی کم ترکیب گازی ($2\% O_2 + 5\% CO_2$) پایین‌ترین میزان تولید اتیلن را نشان می‌دهد، در حالی‌که در پوشش پلی‌پروپیلن ترکیب گازی ($10\% CO_2 + 2\% O_2$) کمترین میزان تولید اتیلن را داشت. در کل تیمار

و تولید اتیلن در ۱۰ روز بعد از برداشت مشاهده شد و پس از آن میزان تنفس و تولید اتیلن کاهش یافت.
(Jianshen *et al.*, 2007)

پیک تولید اتیلن را به تأخیر می‌اندازد یا کوتاه می‌کند و به این ترتیب رسیدگی و پیری میوه‌ها را به تأخیر می‌اندازد. گزارش داده‌اند که در هلوی رقم Chaoyang در شرایط اتمسفر تعديل یافته پیک کلیماکتریک تنفس



شکل ۱۰. اثر متقابل پوشش و ترکیب گازی بر تولید اتیلن هلوی رقم آلبتا طی زمان انبارداری



شکل ۱۱. اثر متقابل زمان و ترکیب گازی بر تولید اتیلن هلوی رقم آلبتا طی زمان انبارداری

بهترین تیمار سبب حفظ بهتر کیفیت میوه نسبت به دیگر تیمارهاست.

سپاسگزاری

بدین وسیله از کلیه افرادی که در انجام این پژوهش، ما را یاری دادند و معاونت محترم پژوهشی پردیس کشاورزی و منابع طبیعی دانشگاه تهران مرتب تشکر و سپاس را ابراز می‌کنیم.

نتیجه‌گیری کلی

با مقایسه صفات کیفی بررسی شده در هلوی رقم آلبتا می‌توان گفت بسته‌بندی در اتمسفر تعديل یافته سبب حفظ کیفیت میوه شده و بدون داشتن اثرات نامطلوب بر ویژگی‌های کیفی و ظاهری میوه سبب افزایش عمر انبارمانی هلو شد. درمجموع پوشش پلی‌اتیلن با ترکیب گازی ($10\% O_2 + 2\% CO_2$) به عنوان

REFERENCES

1. Akbudak, B. & Eris, A. (2004). Physical and chemical changes in peaches and nectarines during the modified atmosphere storage. *Food Control*, 15, 307-313.
2. Arnal, L. & Del Rio, M. A. (2004). Quality of persimmon fruit cv. Rojo brillante during storage at different temperatures. *Agricultural Research*, 2, 243-247.
3. Choi, J. H. & Koo, S. (1997). Effect of MA storage on wooliness of 'Yumyeong' peaches. *Postharvest Horticulture Series*, 3, 132-138.

4. Claypool, L. & Davis, L. (1959). The effect of cold and modified atmosphere storage on the canning quality of cling peaches. *Food Technology*, 13, 208-209.
5. Coles, R., McDowell, D., Kirwani, M. J. & Mullan, M. (2003). *Food Packaging Technology (Modified Atmosphere Packaging)*. Blackwell Publishing. 368 p.
6. Conte, A., Scrocco, C., Lecce, L., Mastromatteo, M. & Del Nobile, M. A. (2009). Ready to eat sweet cherries: Study on different packaging systems. *Food Science and Emerging Technologies*, 10, 564-571.
7. Day, B. P. F. (1993). *Fruit and vegetables. In principles and applications of MAP of Food. Technology and Engineering*. 293 p.
8. Deily, K. R. & Rizvi, S. S. H. (1982). Optimization of parameters for packaging of fresh peaches in polymertic films. *Food Process Engineering*, 5, 23-41.
9. Devlieghere, F. & Jacxsens, L. (2000). Modified atmosphere packaging: state of the art. Available on IFIS, 1-18.
10. El-Sheikh, A. F. & Habiba, R. A. (1996). Effect of storage time on the quality of peach fruit held in cold storage in different types of packaging. *Gartenbauwissenschaft*, 61, 7-10.
11. FAO. (2008). FAOSTAT database results. <http://faostat.fao.org/faostat/servlet>.
12. Farber, J. N., Harris, L. J., Parish, M. E., Beuchat, L. R., Suslow, T. V., Gorney, J. R. & Busta, F. F. (2003). Microbiological safety of controlled and modified atmosphere packaging of fresh and fresh-cut produce. *Food Science and Food Safety*, 2, 142-160.
13. Fernandez-Trujillo, J. P. & Salmeron, M. C. (1997). Effect of intermittent warming and modified atmosphere packaging on fungal growth in peaches. *Plant Disease*, 81, 1-8.
14. Fernandez-Trujillo, J. P. & Artes, F. (1997). Quality improvement of peaches by intermittent warming and modified atmosphere packaging. *Z Lebensm Unters Forsch A*, 205, 59-63.
15. Fernandez-Trujillo, J.P. & Artes, F. (1998). Intermittent warming during cold storage of peaches packed in perforated polypropylene. *Food Science and Technology International*, 31, 38-43.
16. Gil, M. I., Holcroft, D. M. & Kader, A. A. (1997). Changes in strawberry anthocyanins and other polyphenols in response to carbon dioxide treatments. *Agricultural and Food Chemistry*, 45, 1662-1667.
17. Harker, F. R., Elgar, H. J., Watkins, C. B., Jackson, P. J. & Hallett, I. C. (2000). Physical and mechanical changes in strawberry fruit after high carbon dioxide treatments. *Postharvest Biology and Technology*, 19, 139-146.
18. Hintlian, C. B. & Hotchkiss, J. H. (1987). The safety of modified atmosphere packaging: A review. *Food Technology*, 40, 70-76.
19. Jeffrey K. B., Adel, A. K., Christi, M. H. & Robert, C. N. (1982). Controlled atmosphere and ethylene effects on quality of California canning apricots and clingstone peaches. *Food Science*, 47, 432-436.
20. Jianshen, A., Min, Z. & Zhonggang, Z. (2007). Effect of packaging film on the quality of 'Chaoyang' honey peach fruit in modified atmosphere packages. *Packaging Technology and Science*, 20, 71-76.
21. Kader, A. A. & Watkins, C. B. (2000). Modified atmosphere packaging - Toward 2000 and beyond. *HortTechnology*, 10, 483-486.
22. Kader, A. A. & Ben-Yehoshua, S. (2000). Effects of superatmospheric oxygen levels on postharvest physiology and quality of fresh fruits and vegetables. *Postharvest Biology and Technology*, 20, 1-13.
23. Karabulut, O. A. & Baykal, N. (2004). Integrated control of postharvest diseases of peaches with a yeast antistress, hot water and modified atmosphere packaging. *Crop Protection*, 23, 431-435.
24. Layne, D. R. & Bassi, D. (2008). *The Peach (Botany, Production and Uses)*. CABI North American Office. 634 p.
25. Martinez-Romero, D., Guillen, F., Castillo, S., Valero, D. & Serrano, M. (2003). Modified atmosphere packaging maintains quality of table grapes. *Food Science*, 68, 1838-1843.
26. Mc Donald, R. E., Mc Collum, T. G. & Baldwin, E. A. (1999). Tempereture of water treatments influences tomato fruit quality following low temperature storage. *Postharvest Biology and Technology*, 16, 147-155.
27. Mir, N. & Beaudry, R. M. (2001). Modified Atmosphere Packaging. *Michigan State University*, 13.
28. Rodriguez, M. J., Villanueva, M. J. & Tenorio, M. D. (1999). Changes in chemical composition during storage of peaches (*Prunus persica*). *European Food Research and Technology*, 209, 135-139.
29. Santana, L. R. R., Benedetti, B., Sigrist, J. M. M., Sato, H. H. & Sarantopoulou, C. I. G. L. (2009). Modified atmosphere packaging cold storag to maintain quality of 'Douradao' peaches. *Acta Postharvest, Abstract*, 19.
30. Silva, F.M., Chau, K. V., Brecht, J. K. & Sargent, S. A. (1999). Modified atmosphere packaging for mixed loads of horticultural commodities exposed to two postharvest temperatures. *Postharvest Biology and Technology*, 17, 1-9.
31. Smilanick, J. L. & Fouse, D. C. (1989). Quality of nectarines in insecticidal low O₂ atmospheres at 5°C. *Horticultural Science*, 114, 431-436.

32. Somogyi, L. P. (1996). *Processing Fruits: Science and Technology. Biology, Principles and Applications. Food Trade Review*, UK. 558 p.
33. Thompson, A. K. (2010). *Controlled Atmosphere Storage of Fruits and Vegetables. Second edition. FSC Press*. 289 p.
34. Zhou, T., Xu, S. & Sun, D. W. (2002). Effects of heat treatment on postharvest quality of peaches. *Food Scinence Engineering*, 54, 17-22.
35. Zoffoli, J. P., Rodriguez, J., Aldunce, P. & Crisosto, C. H. (1997). Development of high concentration carbon dioxide modified atmosphere packaging systems to maintain peach quality. *Postharvest Horticulture Series*, 3, 37-45.